

เอกสารอ้างอิง

ภาษาไทย

สุรพล คำสุภา, การสร้างแบบจำลองกระบวนการไม่เชิงเส้นโดยการใช้ข่ายงานนิวรัล,
วิทยานิพนธ์ปริญญาโท สาขาวิชาวิศวกรรมคอมพิวเตอร์ มหาวิทยาลัย, 2538

ภาษาอังกฤษ

Baht, N. V. and McAvoy, T.J., **Use of neural nets for dynamic modelling and control of
chemical process systems**, *Computers chem.Eng.*, P.573-582, Vol.14, 1990.

Botcher, J. C., **On Runge Kutta Process of High Order**, *Journal of the Australian Mathematical
Society*, P.179-194, Vol. 4, 1964

Brown, Martin and Harris, C., **Neurofuzzy Adaptive Modelling and Control**, Prentice Hall
International Inc., NJ, 1994.

Chitra, S.P., **Neural Net Applications in Chemical Engineering**, *AI Expert*, Nov, 1992.

Coughanowr, Donald R., **Process Systems Analysis and Control**, McGraw-Hill inc., 1991

Emmanouilides, C. and Petrou, L., **Identification and Control of Anaerobic Digesters Using**

Adaptive, On-line Trained Neural Networks, *Computers chem. Eng.*, P.113-143,

Vol.21, 1997.

Hernandez, E. and Arkun, Y., **Neural Networks Modeling and An Extended DMC Algorithm**

to Control Nonlinear Systems, *Proc. Am. Control Conf.*, P.2454-2459, 1990

Hunt, K. J. and Sbarbaro, D., **Neural Networks for Nonlinear Internal Model Control**, *IEEE*

Proc.-D, P.413, Vol. 138, no. 5, 1991

Hunt, K. J., Sbarbaro, D., Zbikowski, R. and Growthorp, P. J., **Neural Networks for Control**

System-A Survey, *Automatica*, P.1083-1112, Vol. 28, 1992

Jordan, M. and Rumelhart, D. E., **Internal World Models and Supervised Learning**, In *Machine*

Learning : Proc. 8th Int. Workshop, 1991

Kawato, M., Furukawa, K. and Suzuki, R., **A hierachical neural network model for control and**

voluntary, *Biological Cybernetics*, Vol. 57, pp.169-185, 1987

Khalid, M. and Omatu, S., **Neural Network Controller for a Temperature Control System**,

IEEE Control Systems, P.58-64, Vol.12, No.3, 1992.

Khalid, M., Omatu, S. and Yusof, R., **MIMO Furnace Control with Neural Networks**,

IEEE Trans. Control Syst.Tech., P.238-245, Vol.4, 1993.

Kramer, M.A., and Leonard, J.A., **Diagnosis using Backpropagation Neural Networks,**

Computers chem. Eng., P.1323-1338, Vol. 14, 1990

Kung, S.Y., **Digital Neural Networks,** Prentice Hall International Inc., NJ, 1993.

Lee, Moonyong. and Park, Sunwon, **A New Scheme Combining Neural Feedforward Control**

with Model-Predictive Control, *AIChE Journal*, Vol. 38, No. 2, 1992

Leonard, J., Kramer, M.A., **Improve of The backpropagation algorithm for Training Neural**

Networks, *Computers chem. Eng.*, P.337-341, Vol.14, 1990.

Lindfield, G. and Penny, J., **Numerical Methods Using MATLAB,** Ellis Horwood Limited, NY,

1995

Luyben, W. L., **Process Modelling Simulation and Control for Chemical Engineerings,**

McGraw-Hill, Inc., 1989

McAvoy, T. J., Wang, N. S., Naidu, S., Bath, N. and Simmons, M., **Interpreting biosensor data**

with Backpropagation, *Proc. IEEE Int. Joint Conf. on Neural Networks*, Vol. 1, P.593-

605, 1989.

McClelland, J., Rumelhart, D. and PDP Research Group, **Parallel Distributed Processing,** Vol.

1, Cambridge, MA : MIT Press, 1986

McCulloch, W. and Pitts, W., **A Logical Calculus of The Ideas Immanent in Neural Activity,**

Bulletin of Mathematical Biophysics, P.115-133, Vol. 7, 1943

Merson, R. H., **An Operational Method for The Study of Integration Process,** *Proc. Conf. on*

Data Processing and Automatic Computing Machines, Weapons Research Establishment

Salisbury, South Australia, 1957

Minsky, M. and Papret, S., **Perceptrons**, Cambridge : MIT Press, 1969

Nahas, E.P., Henson, M.A. and Seborg, D.E., **Nonlinear internal model control strategy**

for Neural Networks Models, *Computers chem. Eng.*, P.1039-1057, Vol.16, 1992.

Narendra, K. S. and Parthasarathy, K., **Gradient Methods for The Optimization of Dynamical**

Systems Containing Neural Networks, *IEEE Transactions on Neural Networks*, P.252-

262, Vol. 2(2)

Narendra, K. S. and Parthasarathy, K., **Identification and Control of Dynamical Systems Using**

Neural Networks, *IEEE Trans Neural Networks*, Vol. 37(1), 1990

Psaltis, D., Sideris, A. and Yamamura, A., **A Multilayered Neural Networks Controller,**

IEEE Control Syst. Mag., P.44-48, Vol. 10, no. 3, Apr., 1989

RayChaudhuri, T., Hamey, Leonard G.C. and Bell, Rodney D., **From Conventional Control to**

Autonomous Intelligent Methods, *IEEE Control Systems*, P.78-84, Vol.16, No.5, 1996.

- Rosenblatt, F., **The Peraptron : A Probabilistic Model for Information Storage and Organization in The Brain**, *Psy Chology Review*, P.92-99, Vol. 15, 1958
- Rumelhart, D. E., Hinton, G. E. and Williams, R. J., **Learning Internal Representation by Error Propagation. In Parallel Distributed Processing**, MIT Press, Cambridge, MA., 1986
- Seborg, D.E., Egdggar, T.F. and Mellichamp, D.A., **Process Dynamic and Control**, Wiley, New York, 1989
- Shepanski, J. F., **Fast Learning in Artificial Neural System : A Multilayer Perceptron Training Using Optimal Estimation**, *IEEE Second Int. Neural Networks, San Diego*, P.-465-472, 1988
- Spieker, A., Najim, K., Chtourou, M. and Thibault, J., **Neural networks for thermal processes**, *J. Porc. Cont.*, P.223-239, Vol. 3, No. 4, 1993
- Ydstie, B.E., **Forecasting and control using adaptive connectionist networks**, *Computers chem. Eng.*, P.583-599, Vol.14, 1990.
- Wasserman, Philip D., **Advanced Methods in Neural Computing**, Van Nostrand Reinhold, New York, 1993
- Werbos, P. J., **Beyond Regression : New Tools for Prediction and Analysis in The Behaviord Sciences**, PhD. Thesis, Harvard University Committee in Applied Mathematics, 1974

Willis, M.J., Massimo, C.D., Montague, G.A., Tham, M.T. and Morris, A.J., **Artificial neural networks in process engineering**, *IEE Proceedings-d*, Vol. 138, No. 3, 1991

ภาคผนวก ก.

โปรแกรมเม็ทแลบ (Matlab)

โปรแกรมเม็ทแลบ (Matlab) เป็นโปรแกรมที่ใช้การคำนวณทางคณิตศาสตร์ขั้นสูง และใช้แก้ปัญหาที่เป็นเมทริกซ์ และเวกเตอร์ การเขียนโปรแกรมด้วยโปรแกรมเม็ทแลบ ง่ายกว่าโปรแกรมภาษาอื่น ๆ เนื่องจากโปรแกรมเม็ทแลบ ได้รวมคุณสมบัติที่ดีของโปรแกรม ภาษาอื่นเข้ามาเช่นการที่ไม่ต้องประกาศชื่อและชนิดของตัวแปรที่เหมือนกับโปรแกรมภาษา เบสิก และการเขียนโปรแกรมที่เป็นโครงสร้างที่เข้าใจง่าย (procedure language) ที่ใช้ใน โปรแกรมภาษาซี และภาษาปาสคาล

ก.1 การพัฒนาของโปรแกรมเม็ทแลบ

โปรแกรมเม็ทแลบ (MATLAB) เป็นชื่อย่อของ "MATrixLABoratory" ซึ่งได้ถูก พัฒนาขึ้นครั้งแรกที่มหาวิทยาลัยนิวแม็กซิโก และมหาวิทยาลัยสแตนฟอร์ดในปลายทศวรรษ ที่ 1970 เพื่อใช้สอนทฤษฎีเกี่ยวกับ เมทริกซ์ (matrix), ฟังก์ชันพีชคณิตแบบเชิงเส้น (linear algebra) และการวิเคราะห์เชิงตัวเลข (numerical analysis) โปรแกรมเม็ทแลบถูกเขียนขึ้นเป็น ครั้งแรกโดยใช้ภาษาฟอร์แทรน (fortran) โดยคลีฟ โมลเลอร์ (Clive Moller) จากนั้นก็ได้รับการ พัฒนาจากโปรแกรมเมอร์อีกหลายท่าน ในโครงการ "LINPACK and EISPACK" ปัจจุบันโปรแกรมเม็ทแลบถูกเขียนขึ้นโดยใช้ภาษาซี (C language)

ก.2 ความสามารถของโปรแกรมแม่ทแลบ

โปรแกรมแม่ทแลบเป็นโปรแกรมที่สามารถโต้ตอบกับผู้ใช้งานแบบทันทีทันใดและได้มีการพัฒนาอย่างต่อเนื่อง ในการศึกษาโปรแกรมแม่ทแลบจะถูกใช้ไปในการวิจัยและการสอนทางคณิตศาสตร์ ในทางอุตสาหกรรมโปรแกรมแม่ทแลบจะใช้ในการวิจัยทางวิศวกรรม และการแก้ปัญหาทางคณิตศาสตร์เช่น การควบคุมกระบวนการแบบอัตโนมัติ และการวิจัยสัญญาณของกระบวนการ การทำงานของโปรแกรมแม่ทแลบจะเป็นฟังก์ชันของคำสั่งที่อยู่ในรูปแบบของโปรแกรม "M-file" ซึ่งคำสั่งเหล่านี้สามารถนำมาใช้แก้ปัญหาทางคณิตศาสตร์คือ

ก. การคำนวณเกี่ยวกับแมทริกซ์

โปรแกรมแม่ทแลบสามารถทำแมทริกซ์ทรานส์โพส, การคูณแมทริกซ์, การหาดีเทอร์มิแนนท์, การทำอินเวอร์สแมทริกซ์, ค่าไอเกน, การแก้สมการเชิงเส้น, และการประมาณค่าพารามิเตอร์

ข. การคำนวณ โพลีโนเมียล

โปรแกรมแม่ทแลบสามารถใช้ในการคำนวณเกี่ยวกับโพลีโนเมียล เช่น การหารากของโพลีโนเมียล การหาคอนโวลูชัน (convolution) และดีคอนโวลูชัน (deconvolution) การหารโพลีโนเมียล และการหาสมการถดถอยแบบโพลีโนเมียล

ค. การจัดการเกี่ยวกับเวกเตอร์ และการวิเคราะห์ข้อมูล

โปรแกรมแม่ทแลบสามารถนำมาคำนวณผลรวมแบบเวกเตอร์, การหาค่าเฉลี่ย, การหาค่าเบี่ยงเบนมาตรฐาน, ค่าโคแวนเรียนซ์, และการหาค่าสูงสุดต่ำสุดของข้อมูล

ง. การจัดการเกี่ยวกับการแสดงผลกราฟ

โปรแกรมเม็ทแลบมีการแสดงผลเป็นกราฟให้เลือกได้ 7 แบบคือ

- การพล็อตกราฟ x-y บนสเกลเส้นตรง
- การพล็อตกราฟ x-y บนสเกลล็อก-ล็อก
- การพล็อตกราฟ x-y บนสเกลกึ่งล็อกบนแกน x
- การพล็อตกราฟ x-y บนสเกลกึ่งล็อกบนแกน y
- การพล็อตกราฟแบบโพลาร์
- การพล็อตกราฟแบบตะแคง 3 มิติ
- การพล็อตกราฟแบบคอนทัวร์

โปรแกรมเม็ทแลบสามารถใช้งานร่วมกับโปรแกรมภาษาอื่น ๆ เช่น โปรแกรมภาษาซี และโปรแกรมภาษาฟอร์แทรน นอกจากนี้โปรแกรมเม็ทแลบ มี Toolboxes ที่ประกอบไปด้วยฟังก์ชันต่าง ๆ ซึ่งใช้ในสาขาต่าง ๆ เช่น

- Control System Toolbox
- SIMULINK
- Neural Network Toolbox
- Fuzzy Logic Toolbox
- Image Processing Toolbox
- Model Predictive Control Toolbox
- Nonlinear Control Design Toolbox

- Optimization Toolbox
- Signal Processing Toolbox
- Statistics Toolbox
- System Identification Toolbox
- Spline Toolbox
- Robust Control Toolbox
- Mu-Analysis and Synthesis Toolbox

ก.3 การเขียนโปรแกรมด้วยคำสั่งในโปรแกรมเมทแลบ

โปรแกรมเมทแลบ จะรับคำสั่งทีละ 1 บรรทัด (command line) ในพื้นที่หน้าต่างของโปรแกรม หลังจากรับคำสั่งแล้วโปรแกรมเมทแลบจะทำการประมวลผลและแสดงผลทางหน้าต่างของการทำงาน และสามารถสร้างไฟล์ที่ประกอบไปด้วยชุดของคำสั่งที่เหมือนกับการสร้างไฟล์ Autoexec.bat ใน dos โดยไฟล์ของคำสั่งจะเก็บอยู่ในรูป "ชื่อไฟล์.M" คือมีนามสกุลของไฟล์เป็น "เอ็ม (.M)" หรือเรียกว่าเอ็มไฟล์ การประมวลผลจะทำการประมวลผลทีละคำสั่งตามลำดับก่อนหลัง การเขียนเอ็มไฟล์ มี 2 รูปแบบคือ สคริปไฟล์ และฟังก์ชันไฟล์

ก.3.1 สคริปไฟล์

สคริปไฟล์เป็นไฟล์ซึ่งเป็นลำดับของคำสั่ง คำอธิบายในสคริปไฟล์สามารถเขียนได้โดยใช้ “%” นำหน้าข้อความที่อธิบายโดยคำอธิบายนี้จะไม่ผลต่อการทำงานของสคริปไฟล์ โอเปอเรเตอร์ในสคริปไฟล์ได้แก่ ยกกำลัง (^), คูณ (*),หาร (/), บวก (+), และ ลบ (-) ตัวอย่างการใช้โอเปอเรเตอร์เช่น ไฟล์ OPERATOR.M

```
% Matrix calculation for two matrices A and B
A=[1 2 3; 4 5 6; 7 8 9];
B=[5 -6 -9; 1 1 0;24 1 0];
% Addition result assigned to C
D=A*B;
disp(D);
% Division result assigned to E
E=A\B;
disp(E);
```

นอกจากโอเปอเรเตอร์แล้ว โปรแกรมเม็ทแล็บรองรับการทำงานที่วนซ้ำ ๆ หลายครั้ง ซึ่งได้แก่คำสั่ง for loop และคำสั่ง while loop นอกจากนี้โปรแกรมเม็ทแล็บมีคำสั่งเงื่อนไข if ซึ่งคำสั่งทั้ง 3 เป็นคำสั่งที่โปรแกรมภาษาทุกภาษาต้องมี โดยมีการใช้คำสั่งเหล่านี้ ดังนี้คือ

1. คำสั่ง for loop จะใช้เมื่อต้องการทำการคำนวณคำสั่งเดิมวนซ้ำหลาย ๆ ครั้ง โดยอยู่ในรูปแบบดังนี้คือ

```
for loopvariable = loopexpression
statements
end
```

ตัวอย่างของคำสั่ง for loop คือ

```
for i=1:n
    for j=1:m
        C(i , j)=A(i , j)+cos((i+j)*pi/(n+m))*B(i , j);
    end
end
```

2. คำสั่ง while loop จะใช้เมื่อต้องการคำนวณคำสั่งเดิมวนซ้ำโดยมีเงื่อนไขการสิ้นสุดการวนซ้ำโดยอยู่ในรูปแบบดังนี้คือ

```
while while_expression
    statements
end
```

ใน while_expression โอเปอเรเตอร์ที่ใช้ในการเปรียบเทียบคือ เท่ากับ (==), น้อยกว่าหรือเท่ากับ (<=), มากกว่าหรือเท่ากับ (>=), ไม่เท่ากับ (~=), น้อยกว่า (<), และมากกว่า (>)

ตัวอย่างของคำสั่ง while loop คือ

```
dif = 1;
while dif>0.005
    x1=x2-cos(x2)/(1+x2);
    dif=abs(x2-x1);
end
```

3. คำสั่งเงื่อนไข (if statement) มีรูปแบบดังนี้คือ

```
if if_expression
    statements
elseif if_expression
```

```

statements
elseif if_expression
    statements
...
...
else
    statements
end

```

ตัวอย่างของคำสั่ง if คือ

```

for k = 1:n
    for p = 1:m
        if k == p
            z(k,p) = 1;
            total = total + z(k,p);
        else if k < p
            z(k,p) = -1;
            total = total + z(k,p)
        else
            z(k,p) = 0;
        end
    end
end

if (x ~= 0) & (x < y)
    b = sqrt(y - x)/x;
    disp(b);
end

```

การเรียกใช้สคริปไฟล์สามารถเรียกใช้ได้โดยพิมพ์ชื่อเอ็มไฟล์ที่หน้าต่างของโปรแกรมเม็ทแลบ หรืออาจเขียนเรียกใช้ในสคริปไฟล์ หรือฟังก์ชันไฟล์อื่น ๆ

ก.3.2 ฟังก์ชันไฟล์

ฟังก์ชันไฟล์คือ ไฟล์ที่เริ่มต้นบรรทัดแรกด้วยคำว่า "function" ตัวอย่างเช่น

```
function y = mean(x)
% MEAN Average or mean value.
% For vectors,MEAN(X) RETURNS THE MEAN VALUE.
% For matrices, MEAN(X) IS A ROW VECTOR
% containing the mean value of each column.
[m,n]=size(x);
if m==1;
m=n;
end
y=sum(x)/m;
```

จากตัวอย่างข้างต้นจะเห็นว่าเอ็มไฟล์ทั้งสองแตกต่างกันที่ แบบสคริปไฟล์ไม่มีการส่งค่าของตัวแปรทั้งเข้าและออก ดังนั้นค่าต่าง ๆ ที่เกิดขึ้นในเอ็มไฟล์จะไม่มีผลกระทบต่อเอ็มไฟล์อื่น ๆ ในกรณีที่มีชื่อตัวแปรเหมือนกัน ส่วนแบบฟังก์ชันไฟล์มีการส่งค่าเข้าและออก เหมือนกับการเขียนเป็นฟังก์ชันโดยทั่ว ๆ ไปในภาษาการเขียนโปรแกรมแบบอื่น ๆ เช่น ภาษาซี และภาษาปาสคาล โดยสัญลักษณ์ "% " ในฟังก์ชันไฟล์คือคำอธิบายการคำนวณและการเขียนโปรแกรมในฟังก์ชันไฟล์ เหมือนกับที่ใช้ในสคริปไฟล์

ภาคผนวก ข.

การแก้สมการคณิตศาสตร์ในกระบวนการวิศวกรรมเคมี

โดยใช้วิธีเชิงตัวเลข (Numerical method)

ในกระบวนการวิศวกรรมเคมีหน่วยปฏิบัติการ (unit operation) ต่าง ๆ เช่น ถังผสม, ถังปฏิกรณ์ต่าง ๆ , หอกลิ้น ที่มีการเปลี่ยนแปลงทางพลศาสตร์ของมวล (dynamic mass) และสมดุลพลังงานของระบบ สามารถแทนได้ด้วยแบบจำลองทางคณิตศาสตร์ (mathematical model) ที่อยู่ในรูปสมการอนุพันธ์แบบธรรมดา (ordinary differential equation) ซึ่งที่มีรูปแบบสมการทั่วไปสำหรับสมการอนุพันธ์อันดับที่ n ใด ๆ เป็น

$$a_n \frac{d^n y}{dt^n} + a_{n-1} \frac{d^{n-1} y}{dt^{n-1}} + \dots + a_1 \frac{dy}{dt} + a_0 y = f(t) \quad (\text{ข.1})$$

โดยที่ค่า $a_0, a_1, a_2, \dots, a_n$ เป็นค่าคงที่

$f(t)$ เป็นค่าของอินพุทหรือตัวรบกวนที่ใส่ลงไปในระบบ (forcing function or disturbance)

$y(t)$ เป็นค่าที่ตอบสนองออกมาจากระบบที่เวลา t

โดยทั่วไปจะสนใจระบบที่มีสมการอนุพันธ์อันดับที่ $n=1$ และ $n=2$

สมการอนุพันธ์อันดับที่ 1 (first order differential equation) มีรูปแบบสมการทั่วไปเป็น

$$a_1 \frac{dy}{dt} + a_0 y = f(t) \quad (\text{ข.2})$$

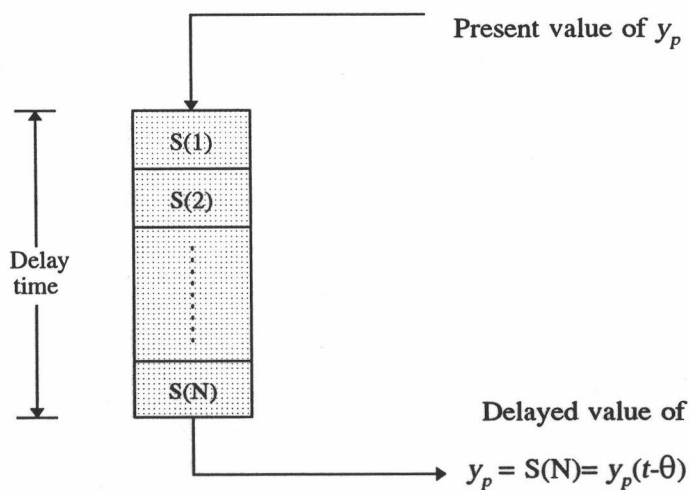
สมการอนุพันธ์อันดับที่ 2 (second order differential equation) มีรูปแบบสมการทั่วไปเป็น

$$a_2 \frac{d^2 y}{dt^2} + a_1 \frac{dy}{dt} + a_0 y = f(t) \quad (\text{ข.3})$$

ข.1 การหน่วงเวลา (time delay)

กระบวนการจริงโดยทั่วไปในทางวิศวกรรมเคมีจะมีการหน่วงเวลาเสมอ เวลาในการหน่วงคือเวลาที่ป้อนสัญญาณเข้าสู่กระบวนการจนให้ผลลัพธ์, y_p ออกมา ดังนั้นแบบจำลองของกระบวนการที่สร้างขึ้นจึงต้องทำการหน่วงเวลาให้เหมือนกับกระบวนการจริง สำหรับในการซิมูเลทสามารถแก้ปัญหาโดย

1. ใส่ฟังก์ชันการหน่วงเวลารวมเข้าไปในสมการอนุพันธ์ของระบบและ แก้สมการหาผลลัพธ์ออกมา



รูปที่ ข.1 การเก็บผลลัพธ์ที่ได้จากกระบวนการไว้ในหน่วยความจำ

2. เก็บสัญญาณผลลัพธ์ที่ได้เรียงไว้ในหน่วยความจำ จำนวนของผลลัพธ์ที่ต้องเก็บเรียงไว้ขึ้นกับค่าการหน่วงเวลาของกระบวนการ, θ และเวลาที่ใช้ในหนึ่งคาบ, dt ซึ่งมีความสัมพันธ์กันดังนี้

$$\text{จำนวนตำแหน่งที่ต้องสำรอง, } N = \theta / dt \quad (\text{ข.4})$$

การเก็บผลลัพธ์ที่ได้จากขบวนการนิเวศไว้ในหน่วยความจำ แสดงได้ดังรูปที่ ข.1

ข.2 การแก้สมการอนุพันธ์

สมการอนุพันธ์แบบธรรมดา (ODE) ในรูปแบบจำลองทางคณิตศาสตร์ สามารถหาคำตอบได้ด้วยวิธีเชิงตัวเลข (numerical method) วิธีที่นิยมใช้กันอย่างกว้างขวางคือวิธีของรังกัดตาอันดับ 4 ซึ่งสามารถแก้สมการอนุพันธ์แบบไม่เชิงเส้นได้เป็นอย่างดี

ข.2.1 สมการอนุพันธ์อันดับ 1

$$a_1 \frac{dy}{dt} + a_0 y = f(t) \quad (\text{ข.5})$$

จัดสมการให้อยู่ในรูป

$$\frac{dy}{dt} = f(t, y) \quad (\text{ข.6})$$

กำหนดสถานะเริ่มต้น (initial condition): $t = t_0, y = y_0$

อัลกอริทึมของรังกัดตาอันดับที่ 4 เพื่อแก้สมการหา $y(t)$ คือ

$$k_1 = f(y_0, t_0) dt \quad (\text{ข.7})$$

$$k_2 = f\left(y_0 + \frac{k_1}{2}, t_0 + \frac{dt}{2}\right) dt \quad (\text{ข.8})$$

$$k_3 = f\left(y_0 + \frac{k_2}{2}, t_0 + \frac{dt}{2}\right) dt \quad (\text{ข.9})$$

$$k_4 = f(y_0 + k_3, t_0 + dt)dt \quad (\text{ข.10})$$

$$y_1 = y_0 + (k_1 + 2k_2 + 2k_3 + k_4) / 6 \quad (\text{ข.11})$$

$$t_1 = t_0 + dt \quad (\text{ข.12})$$

dt คือช่วงเวลาที่เพิ่มขึ้นของตัวแปรอิสระ t

ข.2.2 สมการอนุพันธ์อันดับ 2

$$a_2 \frac{d^2 y}{dt^2} + a_1 \frac{dy}{dt} + a_0 y = f(t) \quad (\text{ข.13})$$

แปลงสมการอนุพันธ์อันดับ 2 ให้อยู่ในรูปสมการอนุพันธ์อันดับ 1 สองสมการ โดยกำหนด

ให้ $y_1 = y$ และ $y_2 = dy_1/dt = dy/dt$ ดังนั้น

$$\frac{dy_1}{dt} = y_2 \quad (\text{ข.14})$$

$$\frac{dy_2}{dt} = -\frac{a_0}{a_2} y_1 - \frac{a_1}{a_2} y_2 + \frac{1}{a_2} f(t) \quad (\text{ข.15})$$

กรณีที่ตัวแปรตามเป็น y_1, y_2 และตัวแปรอิสระเป็น t จัดสมการให้อยู่ในรูป

$$\frac{dy_1}{dt} = f(y_1, y_2, t) \quad (\text{ข.16})$$

$$\frac{dy_2}{dt} = f(y_1, y_2, t) \quad (\text{ข.17})$$

$$k_1 = f_1(y_{10}, y_{20}, t_0)dt \quad (\text{ข.18})$$

$$l_1 = f_2(y_{10}, y_{20}, t_0)dt \quad (\text{ข.19})$$

$$k_2 = f_1\left(y_{10} + \frac{k_1}{2}, y_{20} + \frac{l_1}{2}, t_0 + \frac{dt}{2}\right)dt \quad (\text{ข.20})$$

$$l_2 = f_2\left(y_{10} + \frac{k_1}{2}, y_{20} + \frac{l_1}{2}, t_0 + \frac{dt}{2}\right)dt \quad (\text{ข.21})$$

$$k_3 = f_1\left(y_{10} + \frac{k_2}{2}, y_{20} + \frac{l_2}{2}, t_0 + \frac{dt}{2}\right)dt \quad (\text{ข.22})$$

$$l_3 = f_2\left(y_{10} + \frac{k_2}{2}, y_{20} + \frac{l_2}{2}, t_0 + \frac{dt}{2}\right)dt \quad (\text{ข.23})$$

$$k_4 = f_1(y_{10} + k_3, y_{20} + l_3, t_0 + dt)dt \quad (\text{ข.24})$$

$$l_4 = f_2(y_{10} + k_3, y_{20} + l_3, t_0 + dt)dt \quad (\text{ข.25})$$

$$y_{11} = y_{10} + (k_1 + 2k_2 + 2k_3 + k_4) / 6 \quad (\text{ข.26})$$

$$y_{21} = y_{20} + (l_1 + 2l_2 + 2l_3 + l_4) / 6 \quad (\text{ข.27})$$

$$t_1 = t_0 + dt \quad (\text{ข.28})$$

ข.3 การแก้สมการอนุพันธ์ โดยใช้โปรแกรมเมทแลบ

โปรแกรมเมทแลบมีฟังก์ชัน (ODE23.M และ ODE45.M) ที่ใช้ในการแก้สมการอนุพันธ์แบบธรรมดา (ODE) โดยใช้วิธีรังกัดตา ฟังก์ชัน ODE45.M จะมีความแม่นยำมากกว่า ODE23.M เนื่องจากฟังก์ชัน ODE45.M มีอันดับสูงกว่า ODE23.M แต่ฟังก์ชันทั้งคู่ไม่สามารถนำไปใช้ในงานวิจัยนี้ได้เนื่องจากฟังก์ชันทั้งสองนี้มีการกำหนดเวลาในหนึ่งคาบ (sampling time) ไม่เท่ากันในแต่ละสแต็ปของการซิมูเลท ในช่วงใดของสมการอนุพันธ์ที่การเปลี่ยนแปลงน้อยหรือมีความซับซ้อนน้อยมันจะเพิ่มเวลาในหนึ่งคาบมากขึ้น ในทางกลับกันถ้าในช่วงที่สมการอนุพันธ์มีการเปลี่ยนแปลงมากมันจะลดเวลาในหนึ่งคาบลง

ข.3.1 การใช้ฟังก์ชัน ODE23.M และ ODE45.M

ตัวอย่างของการใช้ฟังก์ชัน ODE23.M และ ODE45.M จะใช้เหมือนกันทุกประการ เพียงแต่มีความแม่นยำที่ต่างกันเท่านั้น ตัวอย่างของสมการอนุพันธ์ที่ใช้ในการแก้คือ

$$\frac{dy}{dt} = -y \quad (\text{ข.29})$$

สมการอนุพันธ์นี้สามารถเขียนอยู่ในรูปฟังก์ชัน, f500.M ได้ดังนี้

```
function yprime=f500(t,y)
yprime = -y;
```

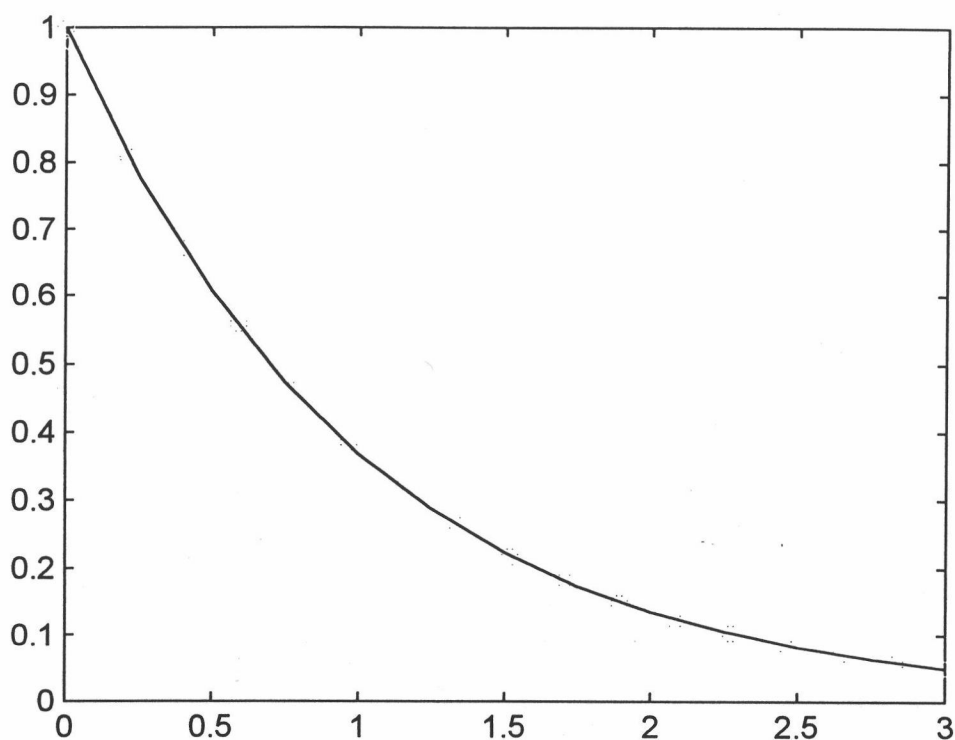
ตัวอย่างการเรียกใช้ฟังก์ชัน ODE45.M เพื่อแก้สมการอนุพันธ์ (ข.29) ได้แก่

```
%run time
simtime = 3;
%accuracy value
acc = 0.001;
%initial value
initx=1;
[t x]=ode45('f500',0,simtime,initx,acc);
plot(t1,x1);
title('ODE45')
xlabel('time');
ylabel('x ');
```

ในการเรียกใช้ฟังก์ชัน ODE45.M ตัวกำหนดเวลาในการซิมมูลา (simtime), ค่าความแม่นยำ (acc), และค่าเริ่มต้น (initx) และผลของการซิมมูลาแสดงในรูปแบบที่ ข.2

ข.3.2 การแก้สมการอนุพันธ์โดยวิธีรังกัดตาที่พัฒนาขึ้นเอง

จากเหตุผลที่กล่าวมาแล้วที่ไม่สามารถใช้ฟังก์ชัน ODE23.M และ ODE45.M ในการแก้สมการอนุพันธ์ในงานวิจัยนี้ การแก้สมการอนุพันธ์ในงานวิจัยนี้จะพัฒนาต่อจาก Lindfield และ Penny (1995) Lindfield ได้แก้สมการอนุพันธ์โดยวิธีรังกัดตา อันดับที่ 4, 5 และ 6 โดยจากรูปสมการทั่วไปของวิธีรังกัดตาอันดับที่ 4



รูปที่ ข.2 แสดงผลของการซิมูเลตสมการอนุพันธ์ f500.M โดยใช้ฟังก์ชัน ODE45.M

$$k_1 = f(t_n, y_n)dt \quad (\text{ข.40})$$

$$k_2 = f\left(t_n + \frac{dt}{2}, y_n + \frac{k_1}{2}\right)dt \quad (\text{ข.41})$$

$$k_3 = f\left(t_n + \frac{dt}{2}, y_n + \frac{k_2}{2}\right)dt \quad (\text{ข.42})$$

$$k_4 = f(t_n + dt, y_n + k_3)dt \quad (\text{ข.43})$$

$$y_{n+1} = y_n + (k_1 + 2k_2 + 2k_3 + k_4) / 6 \quad (\text{ข.44})$$

Lindfield จัดสมการ (ข.40) - (ข.44) ให้อยู่ในรูปทั่วไป สำหรับแต่ละสแต็ป $n = 0, 1,$

2,...

$$k_1 = f(t_n, y_n) \quad (\text{ข.45})$$

$$k_i = f(t_n + d_i dt, y_n + \sum_{j=1}^{i-1} c_{ij} k_j) \quad (\text{ข.46})$$

$$y_{n+1} = y_n + \sum_{j=1}^p b_j k_j \quad (\text{ข.47})$$

โดยที่ p คือจำนวนอันดับ (order)

สมการ (ข.45) - (ข.47) เป็นรูปแบบทั่วไป สำหรับวิธีรังกัดตาอันดับ 4, 5 และ 6 จะมีค่าของ b ,

c และ d ที่แตกต่างกันคือ

1. วิธีรังกัดตาอันดับ 4 ซึ่งเป็นวิธีมาตรฐานที่ใช้กันทั่วไปโดยมีค่า b , c , , และ d คือ

$$b=[1/6 \ 1/3 \ 1/3 \ 1/6];$$

$$c=[0 \ 0 \ 0 \ 0; 0.5 \ 0 \ 0 \ 0; 0 \ 0.5 \ 0 \ 0; 0 \ 0 \ 1 \ 0];$$

$$d=[0 \ 0.5 \ 0.5 \ 1];$$

2. วิธีรังกัดตาอันดับ 5 ซึ่งเสนอโดย Merson (1957) โดยมีค่า b , c , , และ d คือ

$$b=[1/6 \ 0 \ 0 \ 2/3 \ 1/6];$$

$$c=[0 \ 0 \ 0 \ 0 \ 0; 1/3 \ 0 \ 0 \ 0 \ 0; 1/6 \ 1/6 \ 0 \ 0 \ 0; 1/8 \ 0 \ 3/8 \ 0 \ 0; 1/2 \ 0 \ -3/2 \ 2 \ 0];$$

$$d=[0 \ 1/3 \ 1/3 \ 1/2 \ 1];$$

3. วิธีรังกัดตาอันดับ 6 ซึ่งเสนอโดย Butcher (1964) โดยมีค่า b , c และ d คือ

$$b=[0.07777777778 \ 0 \ 0.3555555556 \ 0.133333333 \ 0.3555555556 \ 0.07777777778];$$

$$c(1:4,:)=[0 \ 0 \ 0 \ 0 \ 0; 0.25 \ 0 \ 0 \ 0 \ 0; 0.125 \ 0.125 \ 0 \ 0 \ 0; 0 \ -0.5 \ 1 \ 0 \ 0];$$

$$c(5,:)=[0.1875 \ 0 \ 0 \ 0.5625 \ 0 \ 0];$$

$$c(6,:)=[-0.4285714 \ 0.2857143 \ 1.714286 \ -1.714286 \ 1.1428571 \ 0];$$

```
d=[0 0.25 0.25 0.5 0.75 1];
```

Lindfield เขียนฟังก์ชันสำหรับแก้สมการอนุพันธ์ 1 สมการ, RKGEM.M ซึ่งมีรายละเอียดดังนี้

ละเอียดดังนี้

```
function[tvals,yvals]=rkgen(f,start,finish,startval,step,order)
%Solves dy/dt=f(t,y).start, finish are initial, final values of t
%startval is initial value of y, step is the increment in t
%method (1, 2 or 3) selects Order=4->Classical RK, Order=5->Merson RK
%OR Order=5->Butcher RK.
b=[ ]; c=[ ]; d=[ ];
if order < 4 | order > 6
    disp('Method number unknown so using order=4');
    order=4;
end;
if order==4
    b=[1/6 1/3 1/3 1/6]; d=[0 0.5 0.5 1];
    c=[0 0 0 0; 0.5 0 0 0; 0 0.5 0 0; 0 0 1 0];
    disp('Order=4 ,Classical method selected');
elseif order==5
    b=[1/6 0 0 2/3 1/6];d=[0 1/3 1/3 1/2 1];
    c=[0 0 0 0 0;1/3 0 0 0 0;1/6 1/6 0 0 0;1/8 0 3/8 0 0;...
        1/2 0 -3/2 2 0];
    disp('Order=5,Merson method selected');
else
    b=[0.07777777778 0          0.3555555556 0.13333333...
        0.3555555556 0.0777777778];
    d=[0 0.25 0.25 0.5 0.75 1];
    c(1:4,:)= [0 0 0 0 0 0;0.25 0 0 0 0 0;0.125 0.125 0 0 0 0;...
        0 -0.5 1 0 0 0];
```

```

c(5,:)= [0.1875 0 0 0.5625 0 0];
c(6,:)= [-0.4285714 0.2857143 1.714286 -1.714286 1.1428571 0];
disp('Order=6,Bucher method selected');
end;
steps=(finish-start)/step+1;
y=startval; t=start;
yvals=startval; tvals=start;
for j=2:steps
    k(1)=step*feval(f,t,y);
    for i=2:order
        k(i)=step*feval(f, t+step*d(i), y+c(i,1:i-1)*k(1:i-1));
    end;
    y1=y+b*k'; t1=t+step;
    %collect values together for output
    tvals=[tvals, t1]; yvals=[yvals, y1];
    t=t1; y=y1;
end;

```

ข้อจำกัดของวิธีของ Lindfield คือสามารถแก้สมการอนุพันธ์เพียง 1 สมการเท่านั้น ในงานวิจัยนี้กระบวนการที่ใช้ในการทดลองมีสมการอนุพันธ์มากกว่า 1 สมการ ดังนั้นจึงจำเป็นต้องพัฒนาวิธีของ Lindfield โดยฟังก์ชันที่พัฒนานี้จะใช้วิธีรังกัดตา อันดับ 4 เนื่องจากในการแก้สมการอนุพันธ์หลายสมการจำเป็นต้องมีค่า k_1, k_2, k_3, k_4 หลายชุด ในหัวข้อ ข.2.2 เป็นการแก้สมการอนุพันธ์ 2 สมการจะต้องมีค่า k_1, k_2, k_3, k_4 และ l_1, l_2, l_3, l_4 เนื่องจากโปรแกรมแมทแล็บสามารถคำนวณเมทริกซ์ได้ ดังนั้นจึงกำหนดตัวแปร k_1, k_2, k_3, k_4 เป็น

ตัวแปรประเภทเมทริกซ์ ฟังก์ชันที่เขียนขึ้นเป็น รังค์ตาอันดับ 4 (RKSTEP4.M) มีรายละเอียดดังนี้

```
function[t1 ,y1]=rkstep4(f,start,startval,step)
%Solves dy/dt=f(t,y).start, finish are initial, final values of t
%startval is initial value of y, step is the increment in t
%Order=4 ,Classical method selecte
%10 Jan. 1997, BY SANTI LIMPORNCHAIJAROEN
b=[1/6 1/3 1/3 1/6];
d=[0 0.5 0.5 1];
c=[0 0 0 0; 0.5 0 0 0; 0 0.5 0 0;0 0 1 0];
y=startval; t=start;
k1=step*feval(f,t, y);
k2=step*feval(f,t+step*d(2),y+c(2,1)*k1);
k3=step*feval(f,t+step*d(3),y+c(3,1)*k1+c(3,2)*k2);
k4=step*feval(f,t+step*d(4),y+c(4,1)*k1+c(4,2)*k2+c(4,3)*k3);
y1=y +(b(1)*k1+b(2)*k2+b(3)*k3 +b(4)*k4);
t1=t+step;
```

จากฟังก์ชัน RKSTEP.M f คือเซตของสมการอนุพันธ์ (ODE) โดยมีเวลาเริ่มต้น (start) ค่าเริ่มต้น (startval) และเวลาในหนึ่งสแต็ป (step)

ข.4 ตัวอย่างการทดสอบการแก้สมการอนุพันธ์ระหว่างฟังก์ชัน ODE45.M กับฟังก์ชันที่เขียนขึ้น (RKSTEP4.M)

สมการอนุพันธ์ที่ใช้ทดสอบเป็นสมการอนุพันธ์อันดับ 1 สองสมการคือ

$$\frac{dx}{dt} = 0.5\left(-s - \frac{x^3}{3} + px\right) \quad (\text{ข. 48})$$

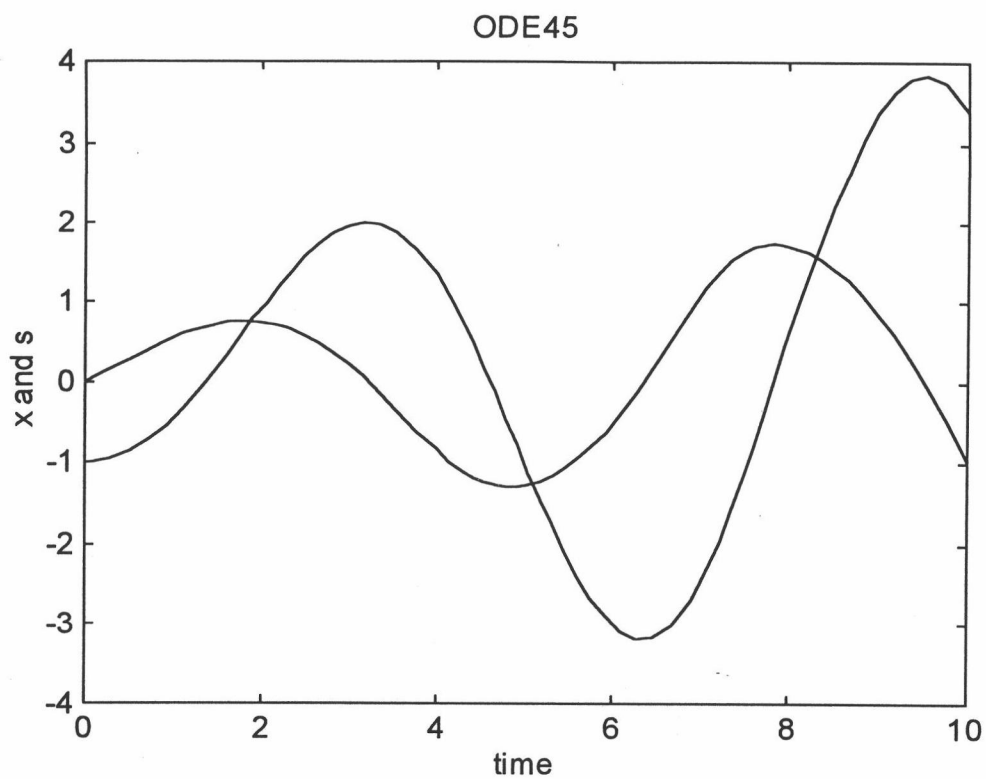
$$\frac{ds}{dt} = 2x \quad (\text{ข. 49})$$

จากสมการทั้งสองนี้เขียนให้อยู่ในรูปฟังก์ชัน ได้ดังนี้

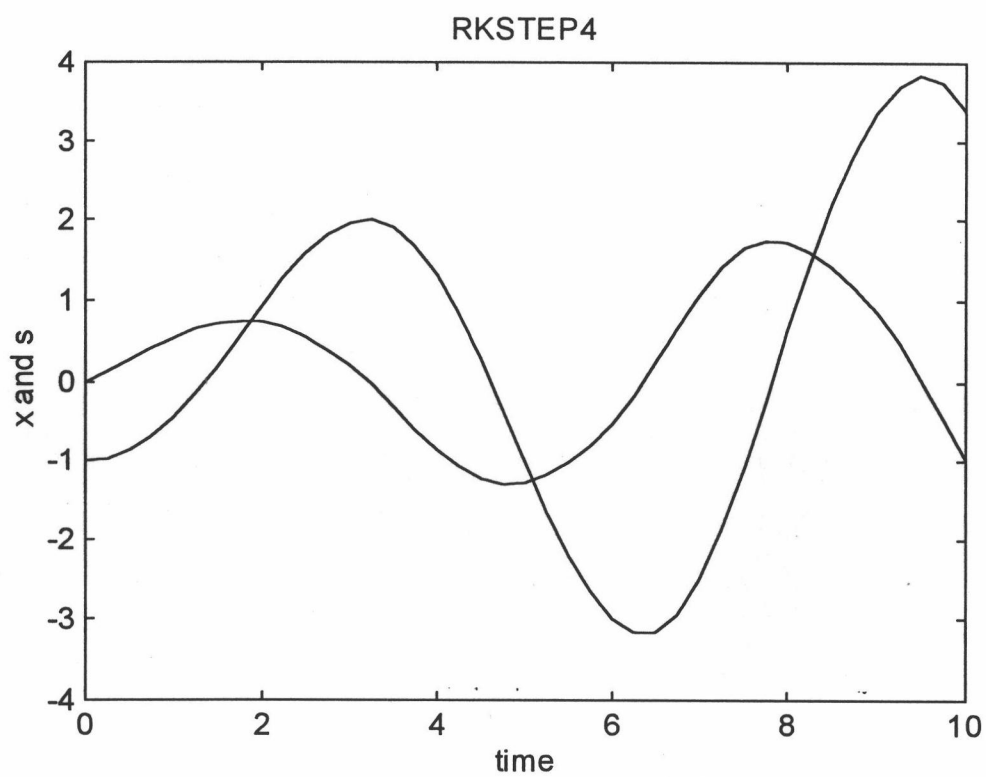
```
function fv=f504(t ,x)
%note that x and s are represented by x(1) and x(2)
global p
fv=zeros(2 ,1);
fv(1)= 0.5*( -x(2) -x(1)^3/3+p*x(1));
fv(2)=2*x(1);
```

โปรแกรมที่เปรียบเทียบฟังก์ชัน ODE45.M กับ ฟังก์ชันที่เขียนขึ้น (RKSTEP4.M) คือ

```
clear all
global p
p=1;
initx=[0 -1]';
[t1 x1]=ode45('f504',0,10,initx,0.001);
figure(1)
plot(t1,x1);
title('ODE45')
xlabel('time');
ylabel('x and s');
t2=0;
x2=initx;
while t2<10
[t2 x2]=rkstep_4('f504',t2,initx,.25);
initx=x2;
x3=[x3 ,x2];
t3=[t3, t2];
```



รูปที่ ข. 3 แสดงผลการซิมมูลเลข โดยใช้ฟังก์ชัน ODE45.M



รูปที่ ข.4 แสดงผลการซิมมูลเลข โดยใช้ฟังก์ชัน RKSTEP4.M

```
end  
figure(4)  
plot(t3,x3);  
title('RKSTEP4')  
xlabel('time');  
ylabel('x and s');
```

ผลการทดสอบพบว่าทั้ง ODE45.M และ RKSTEP4.M จะให้ผลใกล้เคียงกันซึ่งแสดง
ในรูปที่ ข.3 และ ข.4 ตามลำดับ

ภาคผนวก ค.

ตัวควบคุมแบบป้อนกลับแบบพีไอดี

และหลักเกณฑ์ในการตัดสินใจสมรรถนะของระบบควบคุม

ในบทนี้กล่าวถึงตัวควบคุมแบบป้อนกลับแบบพีไอดี และการจูนตัวควบคุมแบบป้อนกลับแบบพีไอดี ในตอนท้ายกล่าวถึงหลักเกณฑ์ในการตัดสินใจสมรรถนะของระบบควบคุมซึ่งมีอยู่ 2 วิธีคือ พิจารณาจากผลการตอบสนองของกระบวนการ และพิจารณาจากอินทรีกร์ลของค่าผิดพลาด

ค.1 ทฤษฎีของตัวควบคุมแบบป้อนกลับแบบพีไอดี

การควบคุมแบบป้อนกลับแบบพีไอดีเป็นการควบคุมแบบพื้นฐานที่เข้าใจง่ายและใช้ในการควบคุมกระบวนการทางอุตสาหกรรมทั่วไป โครงสร้างของระบบควบคุมแบบป้อนกลับดังแสดงในรูปที่ ค.1 ตัวควบคุมใช้ค่าตัวแปรควบคุมจากกระบวนการ c และเปรียบเทียบกับเซตพอยท์ sp และสร้างสัญญาณเอาต์พุต u เพื่อปรับสภาพกระบวนการ โดยใช้ค่าความผิดพลาดในการควบคุม $e = sp - c$ ในการตัดสินใจ สำหรับความสัมพันธ์ระหว่าง ความผิดพลาด

พลาดในการควบคุม e กับสัญญาณเอาต์พุต u ของตัวควบคุมจะมีลักษณะอย่างไรจะขึ้นกับชนิดและคุณสมบัติของตัวควบคุม

เราสามารถแบ่งตัวควบคุมได้เป็น 3 ประเภทได้แก่ ตัวควบคุมแบบนิวแมติก ซึ่งทำงานโดยใช้ลม ตัวควบคุมแบบอิเล็กทรอนิกส์ ทำงานโดยใช้วงจรรีเลย์ทรอนิกส์แบบเชิงเส้น (linear circuit) หรือไมโครโปรเซสเซอร์สร้างสัญญาณเอาต์พุตโดยการเลียนแบบ และจำลองการทำงานการทำงานของตัวควบคุมแบบนิวแมติก และตัวควบคุมแบบอิเล็กทรอนิกส์จากแบบจำลองทางคณิตศาสตร์ของตัวควบคุมแบบเดิม ตัวควบคุมแบบพื้นฐานที่ใช้ในระบบควบคุมแบบป้อนกลับในกระบวนการอุตสาหกรรมโดยทั่วไปมี 4 ประเภทคือ ตัวควบคุมแบบพี ตัวควบคุมแบบพีไอ ตัวควบคุมแบบพีดี และตัวควบคุมแบบพีไอดี

ก. ตัวควบคุมแบบพี (proportional controller หรือ P controller)

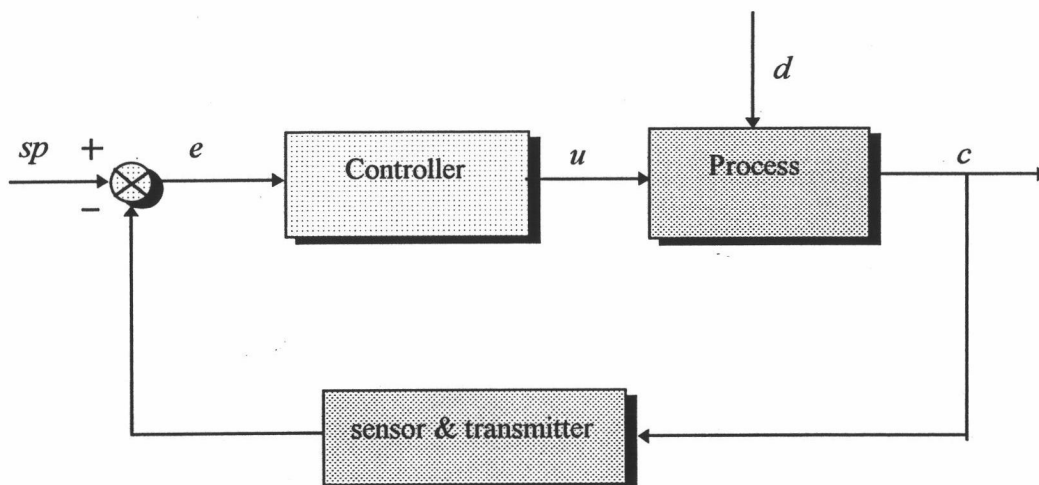
สัญญาณเอาต์พุตจะแปรผันตรงตามค่าความผิดพลาดในการควบคุม

$$u(t) = K_c e(t) + u_s \quad (\text{ค.1})$$

K_c คือเกนสัดส่วน (proportional gain) ของตัวควบคุม, u_s คือ ค่าไบอัส (bias signal) ของตัวควบคุม, และ $u(t)$ เป็นค่าเอาต์พุตของตัวควบคุม ตัวควบคุมแบบพีสามารถแสดงอัตราการควบคุม 2 วิธี คือเกนสัดส่วน K_c และ แบนด์สัดส่วน PB (porportional band) โดย $PB = 100 / K_c$ แบนด์สัดส่วนหมายถึงค่าความผิดพลาดในการควบคุม e ที่ทำให้สัญญาณเอาต์พุตมีค่าสูงสุด ตัวอย่างเช่น ถ้าตัวควบคุมแบบพีมีค่าแบนด์สัดส่วน $PB = 200\%$ จะมีค่า $K_c = 100/200=0.5$ แทนค่า K_c ลงในสมการที่ (ค.1) โดยสมมติค่า $u_s=0$

$$u(t) = 0.5 * e(t) \quad (\text{ค.2})$$

แสดงว่าความผิดพลาดในการควบคุม $e(t)$ จะต้องมีค่า 2 หรือ 200% จึงจะทำให้สัญญาณเอาต์พุตมีค่าสูงสุด คือ 1 หรือ 100 %



รูปที่ ค.1 ระบบการควบคุมแบบป้อนกลับ (feedback control system)

กระบวนการอุตสาหกรรมทั่วไปสามารถใช้ตัวควบคุมที่มีเกนสัดส่วน $0.2 \leq K_c \leq 100$ หรือค่าแบนด์สัดส่วนน้อยจะมีความไวในการตอบสนองต่อค่าความผิดพลาดในการควบคุมสูง ทรานส์เฟอ์ฟังก์ชันของตัวควบคุมแบบพีคือ

$$G_c(s) = K_c \quad (\text{ค.3})$$

ข. ตัวควบคุมแบบพีไอ (Proportional-Integral controller หรือ PI controller)

สัญญาณเอาต์พุตที่มีความสัมพันธ์กับค่าความผิดพลาดในการควบคุมตามสมการ

$$u(t) = K_c e(t) + \frac{K_c}{\tau_I} \int_0^t e(t) dt + u_s \quad (\text{ค.4})$$

เมื่อ τ_I คือ ค่าคงที่เวลาอินทิกรัล (integral time constant) หรือเวลารีเซ็ต (reset time) ของตัวควบคุมแบบไอ ตัวควบคุมแบบไอแสดงอัตราการควบคุมโดยใช้ค่าคงที่เวลาอินทิกรัล หรือเวลารีเซ็ต มีหน่วยเป็นครั้ง/นาทีซึ่งมีค่าเป็น $1 / \tau_I$

กระบวนการทางอุตสาหกรรมทั่วไปสามารถใช้ตัวควบคุมที่มีค่าคงที่เวลาอินทิกรัล $0.1 \leq \tau_I \leq 50$ นาที รูปที่ ค.2 แสดงการตอบสนองของตัวควบคุมแบบพีไอเริ่มต้น $t = 0$ สัญญาณเอาต์พุตจากการควบคุมแบบพีไออย่างเดียวนั้นจะมีค่า $u = K_c * e(t)$ เมื่อเวลาผ่านไป τ_I สัญญาณเอาต์พุตจากการควบคุมแบบไอจะมีค่าเท่ากับสัญญาณเอาต์พุตแบบพีไออย่างเดียว

$$\frac{K_c}{\tau_I} \int_0^{\tau_I} e(t) dt = \frac{K_c}{\tau_I} e \tau_I = K_c e \quad (\text{ค.5})$$

ค่าคงที่เวลาอินทิกรัล τ_I หมายถึงช่วงเวลาที่ตัวควบคุมใช้ในการเพิ่มสัญญาณเอาต์พุตแบบไอจนมีค่าเท่ากับสัญญาณที่ได้จากการควบคุมแบบพีไอเพียงอย่างเดียวหนึ่งครั้ง หรือตัวควบคุมแบบไอต้องใช้เวลา τ_I เพื่อเพิ่มสัญญาณเอาต์พุตให้มีค่าเท่ากับสัญญาณที่ได้จากการควบคุมแบบพีไอหนึ่งครั้ง ตัวควบคุมแบบไอมีคุณสมบัติต่างจากตัวควบคุมแบบพีไอคือ สัญญาณเอาต์พุตจะมีการเปลี่ยนแปลงค่าเพิ่มขึ้นหรือลดลงตลอดเวลาที่ยังมีค่าความผิดพลาดในการควบคุมอยู่ จากสมการที่ (ค.4) ทรานส์เฟอร์ฟังก์ชันของตัวควบคุมแบบพีไอคือ

$$G_c(s) = K_c \left(1 + \frac{1}{\tau_I s} \right) \quad (\text{ค.6})$$

ค. ตัวควบคุมแบบพีไอดี (Proportional-Integral-Derivative controller หรือ PID controller)

สัญญาณเอาต์พุตของตัวควบคุมคือ

$$u(t) = K_c e(t) + \frac{K_c}{\tau_I} \int_0^t e(t) dt + K_c \tau_D \frac{de(t)}{dt} + u_s \quad (\text{ค.7})$$

เมื่อ τ_D คือค่าคงที่เวลาอนุพันธ์ (derivative time constant) ของตัวควบคุมแบบดี ตัวควบคุมสร้างสัญญาณเอาต์พุตแบบดีจากเทอม $de(t)/dt$ ในสมการที่ (ค.7) ซึ่งมีค่าเปลี่ยนแปลงทันทีที่ค่าความผิดพลาดในการควบคุม $e(t)$ มีการเปลี่ยนแปลงไม่ว่าจะมีค่าเพิ่มขึ้นหรือลดลง และสัญญาณการควบคุมแบบดีจะถูกสร้าง เพื่อลดความผิดพลาดในการควบคุมล่วงหน้า

ทรานส์เฟอร์ฟังก์ชันของตัวควบคุมแบบพีไอดี คือ

$$G_c(s) = K_c \left(1 + \frac{1}{\tau_I s} + \tau_D s \right) \quad (\text{ค.8})$$

ง. ตัวควบคุมแบบพีดี (Proportional-Derivative controller หรือ PD controller)

สัญญาณการควบคุมแบบพีดีจะแสดงด้วยสมการ

$$u(t) = K_c e + K_c \tau_D \frac{de(t)}{dt} + u_s \quad (\text{ค.9})$$

การควบคุมแบบพีดีมีการเปลี่ยนแปลงที่เป็นสัดส่วนกับอนุพันธ์ของความผิดพลาด การควบคุมแบบนี้จะเรียกได้ว่าเป็นการควบคุมแบบคาดการณ์ล่วงหน้า (anticipatory control) พฤติกรรมของตัวควบคุมแบบพีดีแสดงได้โดยพิจารณาจากการตอบสนองต่อการเปลี่ยนแปลง

แบบเชิงเส้นของความผิดพลาดในรูปที่ ค.3 ซึ่งเป็นผลตอบสนองต่อฟังก์ชัน $e(t) = At$ ของสมการที่ (ค.9) จะได้เป็นสมการ (ค.10)

$$u(t) = A_c t + A_c \tau_D + u_s \quad (\text{ค.10})$$

จะเห็นว่า u เปลี่ยนแปลงอย่างทันทีทันใดด้วยปริมาณ $AK_c \tau_D$ ซึ่งเป็นผลจากการกระทำของเทอมอนุพันธ์ จากนั้นเปลี่ยนแปลงอย่างเชิงเส้นด้วยอัตรา AK_c ทราנסเฟอ์ฟังก์ชันของตัวควบคุมแบบพีดีคือ

$$G_c(s) = K_c(1 + \tau_D s) \quad (\text{ค.11})$$

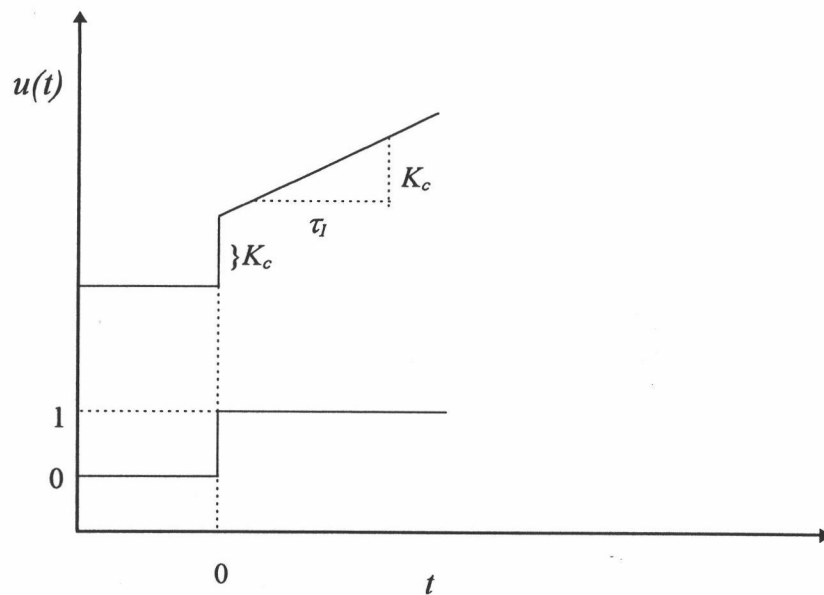
ตัวควบคุมป้อนกลับแบบพื้นฐานที่กล่าวมานี้คุณลักษณะที่สำคัญคือลักษณะของเกน (K_c) และพารามิเตอร์ที่คงที่ ซึ่งลักษณะแบบนี้จะเหมาะสำหรับการควบคุมกระบวนการที่ไม่ซับซ้อน

ค.2 การจูนตัวควบคุมแบบป้อนกลับแบบพีไอดี

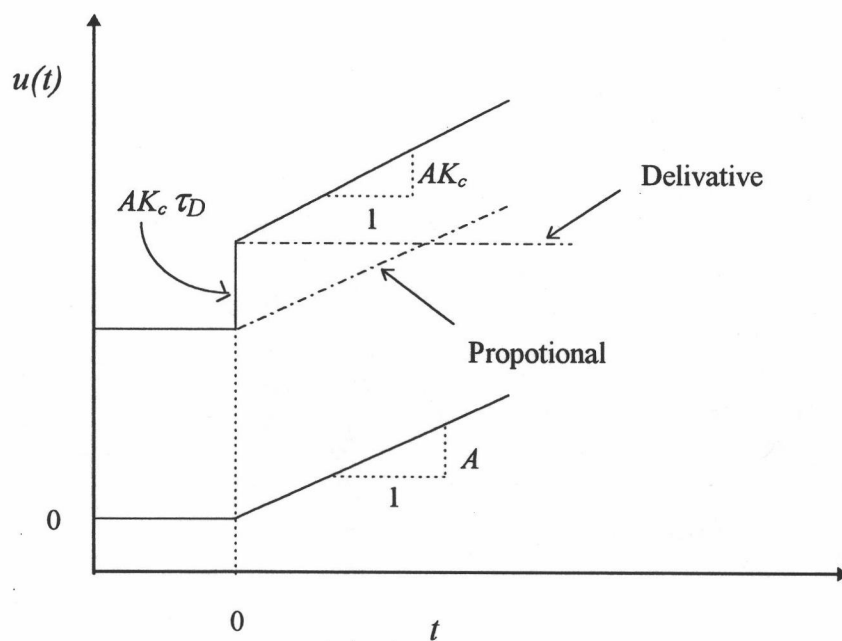
ในการจูนค่าพารามิเตอร์ของตัวควบคุมแบบพีไอดี จะใช้วิธีของ “ซีเกลอร์-นิโคลส์” (Ziegler-Nichols) ซึ่งเป็นวิธีการไซเคิลแบบต่อเนื่อง (continuous cycling method) ซึ่งการควบคุมประเภทนี้อาศัยการจูนแบบลองผิดลองถูก (trial and error tuning) สามารถแบ่งออกเป็นขั้นตอนต่าง ๆ ได้ดังนี้คือ

ขั้นตอนที่ 1 : การจูนตัวควบคุมแบบลองผิดลองถูก (trial and error tuning)

เป็นการจูนตัวควบคุมเพื่อหาค่า K_c ซึ่งสามารถแบ่งเป็นขั้นตอนย่อยได้ดังนี้



รูปที่ ค.2 การตอบสนองของตัวควบคุมแบบพีไอ (Coughanowr, 1991)



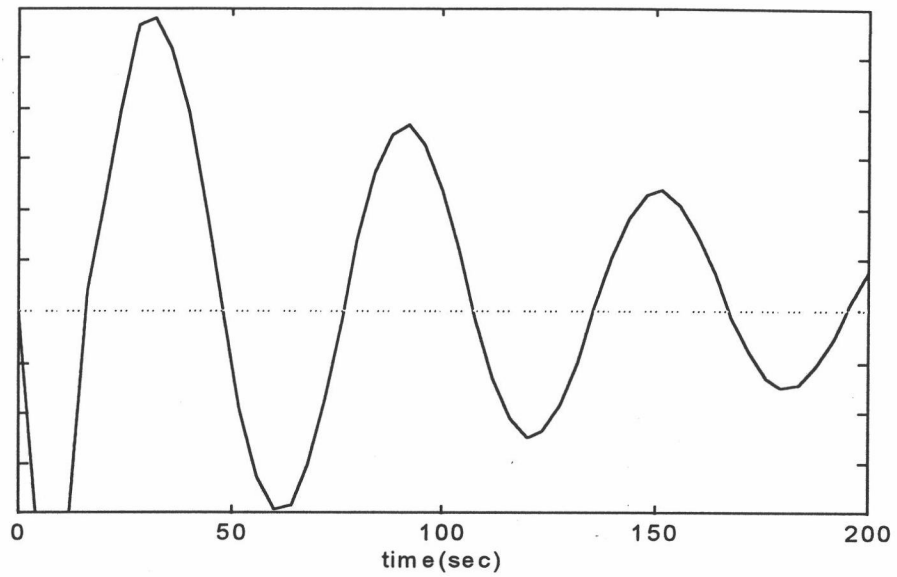
รูปที่ ค.3 การตอบสนองของตัวควบคุมแบบพีดี (Coughanowr, 1991)

1. กำจัดค่าอินทิกรัล (integral) และ ดีริเวทีฟ (derivative) ออก โดยการตั้งค่า τ_I ให้มีค่าสูงที่สุด และค่า τ_D ให้มีค่าต่ำสุด
2. สุ่มค่า K_C ขึ้นมาค่าหนึ่ง (เริ่มที่ค่า K_C น้อย ๆ)
3. สังเกตคุณลักษณะของกราฟของการตอบสนอง (response) ที่ได้ ถ้าเกิดโอเวอร์ชูต (overshoot) แสดงว่า จะต้องลดค่า K_C ลงและถ้ากราฟการตอบสนองมีแนวโน้มเข้าใกล้ค่าเซ็ทพอยท์แสดงว่า จะต้องเพิ่มค่า K_C ให้มากขึ้น ทั้งนี้การเพิ่มหรือลดค่า K_C จะทำจนกระทั่งกราฟของการตอบสนองที่ได้มีลักษณะเป็นกราฟคงที่ ซึ่งจะมีแอมพลิจูด (amplitude) และ เวลา (period) ที่เท่ากันโดยตลอดซึ่งวิธีการตอบสนองแบบนี้จะเรียกว่าวิธีการไซเคิลแบบต่อเนื่อง (continuous cycling method) ค่า K_C ที่ได้จะมีค่าเท่ากับค่า K_{CU} ซึ่งค่า K_{CU} นี้เราจะนำไปใช้ในการหาค่าการควบคุมสัดส่วน (proportional control) ของค่าพีไอดี โดยวิธีของ “ซีเกลอร์-นิโคลส์”

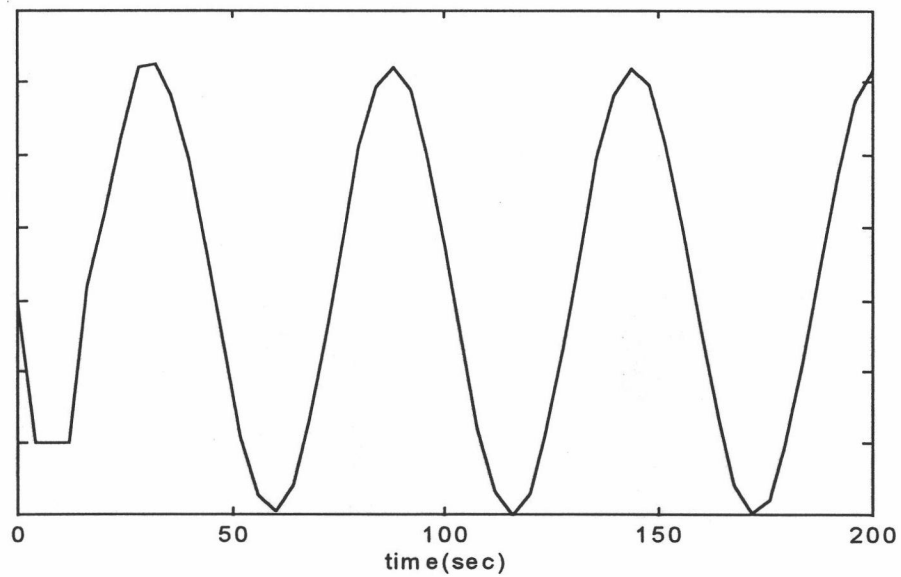
นิยามของ K_{CU} หรือ “ultimate gain” คือค่า K_C ที่มากที่สุดของตัวควบคุมกระบวนการที่ทำให้กระบวนการแบบวงจรมีเสถียรภาพที่ดีเมื่อใช้ค่าสัดส่วน (proportional) ในการควบคุมกระบวนการเพียงอย่างเดียว

จากรูปที่ ค.4 ถึง ค.6 แสดงถึงลักษณะของการตอบสนองที่ค่า K_{CU} ต่าง ๆ กัน

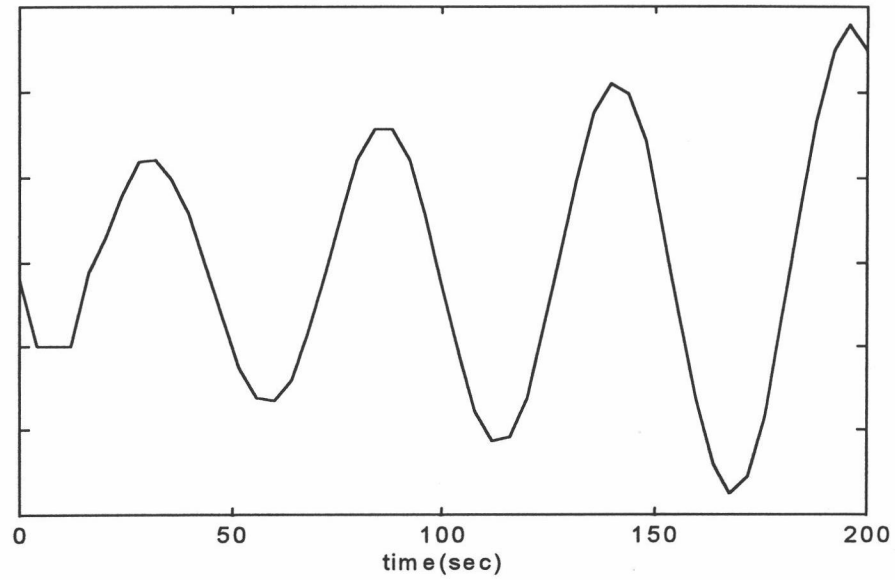
1. $K_C < K_{CU}$ ในกรณีที่การตอบสนอง เกิดแบบโอเวอร์แดม (overdamp) และค่า K_C น้อยกว่าค่า K_{CU} มาก ๆ การตอบสนองจะเกิดการแกว่ง (oscillatory) การแก้ไขก็คือการเพิ่มค่า K_C จนได้การตอบสนองเป็นแบบไซเคิลแบบต่อเนื่อง



รูปที่ ค.4 การจูนตัวควบคุมแบบพีไอดี โดยวิธีของ “ซีเกลอร์-นิโคลส์” เมื่อ $K_C < K_{CU}$



รูปที่ ค.5 การจูนตัวควบคุมแบบพีไอดี โดยวิธีของ “ซีเกลอร์-นิโคลส์” เมื่อ $K_C = K_{CU}$



รูปที่ ค.6 การจูนตัวควบคุมแบบพีไอดี โดยวิธีของ “ซีเกลอร์-นิโคลส์” เมื่อ $K_C > K_{CU}$

ตารางที่ ค.1 การหาค่าพารามิเตอร์ของตัวควบคุมแบบป้อนกลับแบบพีไอดี

Controller	K_C	τ_I	τ_D
P	$0.5K_{CU}$	-	-
PI	$0.45K_{CU}$	$P_U / 1.2$	-
PID	$0.6K_{CU}$	$P_U / 2$	$P_U / 8$

2. $K_C = K_{CU}$ ในกรณีนี้การตอบสนองจะมีค่าแอมพลิจูด และเวลาที่คงที่ในลักษณะนี้ เรียกว่าการไซเคิลแบบต่อเนื่อง ค่า K_C ที่ได้จะมีค่าสูงสุด

3. $K_C > K_{CU}$ (without saturation) ในกรณีนี้ กระบวนการจะมีเสถียรภาพดีกว่าแต่ค่า K_{CU} ที่ได้จะมีค่ามากจนเกินไปจนมีผลทำให้การควบคุมกระบวนการทำได้ไม่ดีนัก

ขั้นตอนที่ 2 :วิธีการควบคุมแบบการไซเคิลแบบต่อเนื่อง (continuous cycling method)

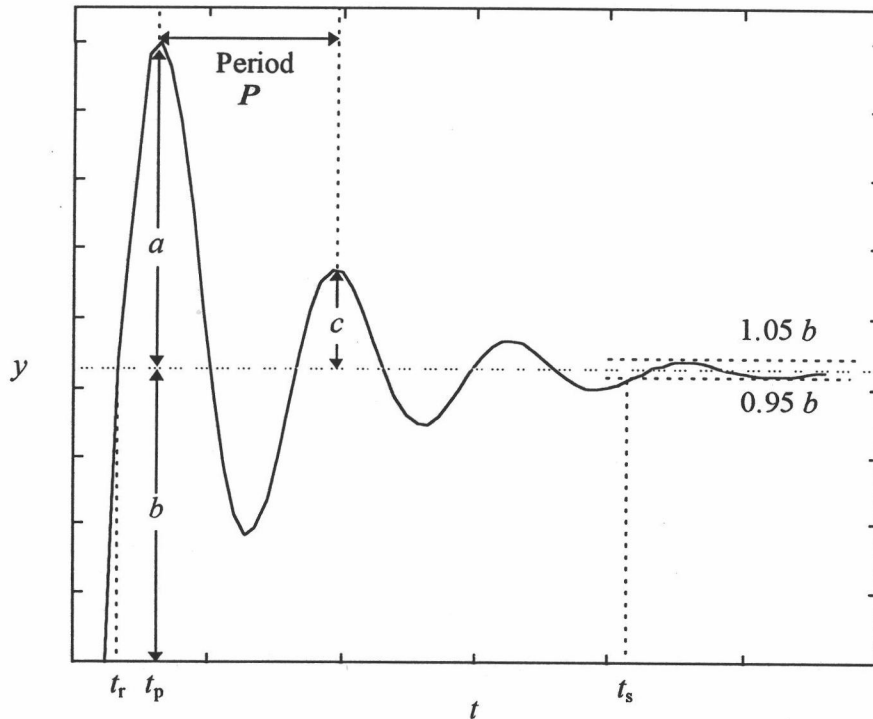
การควบคุมแบบการไซเคิลแบบต่อเนื่องนี้ซีเกลอร์และนิโคลส์ได้เป็นผู้นำเสนอครั้งแรกเมื่อ ค.ศ.1942 โดยการนำค่า K_{CU} ที่ได้จากการทดลองผิดพลาดออกมาหาค่าพารามิเตอร์ของตัวควบคุมแบบพีไอดีแสดงดังในตารางที่ ค.1 จากหนังสือ Process Dynamic and Control โดย Seborg (ตารางที่ 13.2 หน้า 298)

ค.3 หลักเกณฑ์ตัดสินสมรรถนะของระบบควบคุม

ผู้ออกแบบระบบควบคุมจะต้องกำหนดหลักเกณฑ์การตัดสินใจในการออกแบบระบบควบคุม เพื่อใช้เป็นมาตรฐานเปรียบเทียบระบบควบคุมหลายระบบว่าระบบใดสามารถให้ผลการควบคุมที่ดีที่สุด และความต้องการที่กำหนดไว้ในการออกแบบ หลักเกณฑ์ที่ใช้ในการตัดสินมี 2 วิธีซึ่งขึ้นอยู่กับวัตถุประสงค์ในการควบคุม

1. พิจารณาจากผลการตอบสนองของกระบวนการ

เกณฑ์การตัดสินคือระบบที่ดีจะต้องสามารถลดค่าโอเวอร์ชูท (a) ลดค่าเวลาเข้าสู่สมดุล (t_s) ลดเวลาขาขึ้น (t_r) ให้มีค่าน้อยที่สุด หรือต้องมีค่าอัตราลดทอน (Decay ratio) หรือ c/a ให้มีค่าเป็น $1/4$ ซึ่งแสดงในรูปที่ ค.7



รูปที่ ค.7 ลักษณะการตอบสนองของกระบวนการ

2. พิจารณาจากอินทิกรัลของค่าความผิดพลาด

เป็นการตรวจสอบผลการตอบสนองของระบบควบคุมตามเวลาทุกจุด ตั้งแต่กระบวนการเริ่มต้นเปลี่ยนแปลงเมื่อเวลา $t = 0$ จนเข้าสู่สภาวะสมดุล เมื่อเวลา $t \rightarrow \infty$ ได้แก่

ก. อินทิกรัลของกำลังสองของความผิดพลาด (ISE)

$$ISE = \int_0^{\infty} e^2(t) dt \quad (\text{ค.12})$$

ข. อินทิกรัลของค่าสัมบูรณ์ของความผิดพลาด (*IAE*)

$$IAE = \int_0^{\infty} e(t) dt \quad (\text{ค.13})$$

ค. อินทิกรัลเวลาของค่าสัมบูรณ์ของความผิดพลาด (*ITAE*)

$$ITAE = \int_0^{\infty} te(t) dt \quad (\text{ค.14})$$

โดย $e(t) = sp(t) - c(t)$

การออกแบบตัวควบคุมที่ดีนั้นจะต้องมีค่าอินทิเกรตของความผิดพลาดน้อยที่สุด หลักเกณฑ์ในการตัดสินใจทั้งหมดนี้จะมีความเหมาะสมสำหรับระบบควบคุมแต่ละระบบดังนี้

ก. สำหรับค่าความผิดพลาดที่มีค่ามาก ใช้ *ISE* จะดีกว่า *IAE* เนื่องจากค่าความผิดพลาดจะถูกยกกำลังสอง ซึ่งจะทำให้ได้ค่าของการอินทิเกรตมีค่ามากตามไปด้วย

ข. สำหรับความผิดพลาดที่มีค่าน้อย ใช้ *IAE* จะดีกว่า *ISE* เนื่องจากเมื่อทำการยกกำลังสองความผิดพลาดที่มีค่าน้อย ๆ จะทำให้ได้ค่าน้อยลงไปอีกทำให้เปรียบเทียบได้ยาก

ค. สำหรับระบบที่มีช่วงการทดสอบที่ยาวนาน หลักเกณฑ์ *ITAE* จะเหมาะสำหรับการออกแบบระบบควบคุม เนื่องจากค่าความผิดพลาดที่ปรากฏในช่วงที่ t มีค่ามากจะถูกขยายให้มีความมากขึ้นไปด้วยถึงแม้ว่าจะเป็นค่าผิดพลาดที่น้อย ในช่วงเวลาอินทิเกรต

ภาคผนวก ง.

ตัวอย่างโค้ดโปรแกรมที่สำคัญ

โปรแกรมที่เขียนขึ้นในงานวิจัยที่สำคัญคือ โปรแกรมสำหรับซิมูเลทกระบวนการเพื่อนำข้อมูลอินพุท และเอาต์พุทที่ได้จากการซิมูเลทนำไปใช้ในการฝึกข่ายงานนิวรัล และโปรแกรมสำหรับฝึกข่ายงาน

ง.1 โปรแกรมสำหรับซิมูเลทกระบวนการ

โปรแกรมนี้อาจให้ผู้ใช้เลือกเวลาในการซิมูเลท และอินพุทจะเป็นแบบสแต็ป โดยผู้ใช้สามารถเลือกชนิดของอินพุท ซึ่งอาจเป็นการสุ่มเฉพาะความสูง หรือทั้งความสูง และความกว้าง ในการซิมูเลทจะใช้วิธีรังกัดตา อันดับ 4 ในการแก้สมการอนุพันธ์ ซึ่งมีรายละเอียดดังนี้

```
% Define global variable
global Fo
global delta
delta=1;
stime=1;
simtime=input('enter runtime');
```

```

% Initial Condition
initx=[3.4 2.05]';

%SELECT TYPE OF INPUT
z1=menu('Select type of Input',...
        'Random Amplitude',...
        'Random Amplitude and Range');

disp("")
t=0;
Fo=0; i=0; time=0; flow=0;
a=-1;b=1; c=1; d=10;
flow(1)=35.1; time(1)=0;
while (t < (simtime))
    if z1==1
        n=simtime;
    else
        r=rand(1,1);
        n=round(((d-c)*r+c));
    end
    r=rand(1,1);
    Fin=((b-a)*r+a)*3.51+35.1;
    for j=1:n
        if t>= simtime
            break
        end
        i=i+1;
        t=t+h;
        flow(i+1)=Fin;
    end
end

```

```

    end
end

i=1;t=0;
%initial condition
x=[3.4 2.05]';
while (t < (simtime))
Fo=flow(i);
initx=x;
[t x]=rkstep_4('fgra',t,initx,delta);
t2(i)=t;
x2(i,1)=x(1);
x2(i,2)=x(2);
i=i+1;
end

```

ง.2 โปรแกรมสำหรับฝึกถ่ายภาพงาน

ในโปรแกรมนี้จะให้ผู้ใช้ป้อนว่าจะใช้ฟังก์ชันกระตุ้นประเภทไหน และกำหนดค่าเดดไทม์ของกระบวนการ ข้อมูลที่ใช้ในการฝึกได้จากการขมิบเลขในหัวข้อ ง.1 โดยเก็บไว้ในชื่อไฟล์ gra00_fo.dat และ gra00_h.dat หลังจากนั้นผู้ใช้เลือกจำนวนของอินพุตที่ต้องการหน่วยเวลา, n_x และจำนวนของเอาต์พุตที่ต้องการหน่วยเวลา, n_y ซึ่งจะได้เป็นอินพุตเวกเตอร์, P ในขั้นตอนต่อไปโปรแกรมจะสุ่มค่าน้ำหนักเริ่มต้นโดยใช้ฟังก์ชัน `inifff()` และทำการฝึกถ่ายภาพงานโดยใช้ฟังก์ชัน `trainbpx()` ซึ่งเป็นฟังก์ชันในการฝึกโดยใช้อัลกอริธึมการกระจายย้อนกลับ

ในตอนท้ายจะทำการทดสอบข่ายงานที่ทำการฝึกแล้วมาทดสอบกับข้อมูลอีกชุดหนึ่งคือไฟล์
gra0_fo.dat และ gra0_h.dat รายละเอียดของโปรแกรมมีดังนี้

```
% Select Activation function
z1=menu('Select Activation function of input-hidden:',...
        'logsig(0 - 1)',...
        'tansig(-1 - 1)');
disp("")
if z1==1
    act_1='logsig';
else act_1='tansig';
end

z2=menu('Select Activation function of hidden-output:',...
        'logsig(0 - 1)',...
        'tansig(-1 - 1)');
disp("")
if z2==1
    act_2='logsig';
else act_2='tansig';
end

if strcmp(act_1,'logsig')
    min1=0;
```

```
    max1=1;

end

if strcmp(act_1,'tansig')

    min1=-1;

    max1=1;

end

if strcmp(act_2,'logsig')

    min2=0;

    max2=1;

end

if strcmp(act_2,'tansig')

    min2=-1;

    max2=1;

end

delay=input('enter number of delay times');

load gra00_fo.dat

load gra00_h.dat

[A,B] = size(gra00_fo);

Xout=gra00_h((1+delay):B);

Xin=gra00_fo(1:(B-delay));

clear A B

clear gra00_fo gra00_h

% Scale range
```

```

Fmax=max(Xin)

Fmin=min(Xin)

hmax=max(Xout)

hmin=min(Xout)

T=min1+((max1-min1)/(hmax-hmin)).*(Xout-hmin);

X=min2+((max2-min2)/(Fmax-Fmin)).*(Xin-Fmin);

%*****

% Recurrent

%*****

n=input('enter number of recurrent of input');

m=input('enter number of recurrent of output');

% initialize X

if n==0

    PP=delaysig(T,1,m);

    P=[X ; PP]

    clear PP

    if m==0 P=X ; end

else

    XX=delaysig(X,1,n);

    PP=delaysig(T,1,m);

    P=[X ; XX ; PP]

    if m==0 P=[X;XX]; end

    clear XX PP

```

```

end

% INITIALIZE NETWORK ARCHITECTURE

%=====

[R,Q] = size(P); S1 =5; [S2,Q] = size(T);

% INITFF is used to initialize the weights and biases

[W1,b1,W2,b2]=initff(P,S1,act_1,T,act_2);

% TRAINING PARAMETERS

disp_freq = 5;

max_epoch =150;

err_goal =0.000001;

momentum = 0.95;

err_ratio = 1.04;

TP = [disp_freq max_epoch err_goal NaN NaN NaN momentum ];

[ W1,b1,W2,b2,ep,tr] = trainbpx(W1,b1,act_1,W2,b2,act_2,P,T,TP);

% RESULTS

A=simuff(P,W1,b1,act_1,W2,b2,act_2);

SSE = sumsqr(A-T);

hout=((hmax-hmin)/(maxl-minl)).*(A-minl)+hmin;

figure(1)

plot(1:length(hout),hout,'-',1:length(Xout),Xout,'--');

xlabel('time(s)');

ylabel('h');

title('TRAINING');

```



```

%*****

%Cross Validate

%*****

Xin=0;Xout=0;T=0;

load gra0_fo.dat

load gra0_h.dat

[A,B] = size(gra0_fo);

X2out=gra0_h((1+delay):B);

X2in=gra0_fo(1:(B-delay));

clear A B

clear gra0_fo gra0_h

T2=min1+((max1-min1)/(hmax-hmin)).*(X2out-hmin);

X2=min2+((max2-min2)/(Fmax-Fmin)).*(X2in-Fmin);

[R3,Q3]=size(X2in);

%*****

% Recurrent

%*****

if n==0

    PP2=delaysig(T2,1,m);

    P2=[X2 ; PP2]

    clear PP2

else

    XX2=delaysig(X2,1,n);

```

```
PP2=delaysig(T2, l,m);

P2=[X2 ; XX2 ; PP2];

clear XX2 PP2

end

% RESULTS

A2=simuff(P2,W1,b1,act_1,W2,b2,act_2);

SSE = sumsq(A2-T2);

h2out=((hmax-hmin)/(maxl-minl)).*(A2-minl)+hmin;

figure(2)

plot(1:length(h2out),h2out,'-',1:length(X2out),X2out,'--');

xlabel('time(s)');

ylabel('h');

title('CROSS VALIDATION');
```

ประวัติผู้เขียน

นายสันติ ลิ้มพรชัยเจริญ เกิดเมื่อวันที่ 8 กุมภาพันธ์ พ.ศ. 2513 สำเร็จการศึกษาในระดับชั้นมัธยมศึกษาปีที่ 6 จากโรงเรียนวัดสุทธวราราม เมื่อ พ.ศ. 2532 สำเร็จการศึกษาระดับปริญญาตรี ปริญญาวิทยาศาสตรบัณฑิต สาขาเทคโนโลยีชีวภาพ จากมหาวิทยาลัยเกษตรศาสตร์ เมื่อปี พ.ศ. 2536

